

Динамика QML-генерации твердотельного лазера с акустооптическим модулятором бегущей волны

О.Е.Наний, А.И.Одинцов, А.И.Панаков, А.П.Смирнов, А.И.Федосеев

Изучены особенности динамики генерации лазера с акустооптическим модулятором. Инжекция светового поля со сдвигом частоты из предыдущей моды в последующую обеспечивает синхронизацию мод и во многих случаях способствует возникновению неустойчивости и автоколебаниям на релаксационной частоте лазера. Проведен анализ амплитудных и частотных характеристик возникающего режима, а также особенности режимов, реализуемых при внешней модуляции коэффициента дифракционной связи.

Ключевые слова: лазер, синхронизация мод, модуляция добротности, акустооптический модулятор, автоколебания, релаксационная частота.

1. Введение

Последовательности коротких оптических импульсов высокой пиковой мощности используются в спектроскопии с временным разрешением, в оптической томографии, для высокоточной обработки материалов, в измерительной технике и других областях. Перспективными источниками такого излучения являются твердотельные лазеры, работающие в режиме синхронизации мод (СМ) с одновременной модуляцией добротности, так называемые QML-лазеры. Лазеры с активной СМ и одновременной модуляцией добротности обладают существенными преимуществами в приложениях, требующих точной синхронизации генерируемых импульсов с другими устройствами.

В первых QML-лазерах использовались два акустооптических модулятора (АОМ) в резонаторе [1]. СМ обеспечивалась с помощью АОМ стоячей акустической волны, для модуляции добротности использовался АОМ бегущей волны. В работе [2] предложено использовать возвращение дифрагированной в АОМ волны обратно в область акустооптического взаимодействия, что существенно увеличило эффективность модуляции и позволило осуществить стационарную СМ при использовании АОМ бегущей волны в резонаторе [3, 4]. При этом в работе [3] для возвращения дифрагированного излучения в резонатор применялись дополнительные зеркала, а в [4] – V-образный резонатор специальной конструкции. На возможность объединения режимов СМ и модуляции добротности с помощью одного АОМ бегущей волны указывают данные работы [5], в которой режим QML наблюдался при высоком пропускании плоского выходного зеркала резонатора в лазере на Nd:YVO₄.

Устойчивый QML-режим в лазере на Nd:YAG реализован экспериментально с одним АОМ бегущей волны, расположенным в центре кривизны глухого сферического зеркала [6, 7] под двойным углом Брэгга θ_B к оси резонатора (рис. 1). В резонатор возвращается волна, не испытывавшая дифракцию с частотой ν_0 , а также волна, испытывавшая двойную дифракцию с частотой $\nu_0 + 2f$ (f – рабочая частота модулятора). СМ возникает при рабочей частоте модулятора f , равной половине межмодового интервала. Волны с частотами $\nu_0 \pm f$, испытавшие однократную дифракцию, уходят из резонатора, определяя дополнительные потери, связанные с АОМ. Быстрое снижение дополнительных потерь происходит во время процесса затухания звуковой волны. Тем самым при отключении рабочей частоты АОМ модулируется добротность резонатора. Позднее было обнаружено экспериментально [8], что режим модуляции добротности может возникнуть на релаксационной частоте лазера «самопроизвольно» при постоянной амплитуде акустической волны. Эти экспериментальные исследования показали, что в определенных условиях установившийся режим СМ становится неустойчивым, и возможна раскачка релаксационных колебаний.

В настоящей работе исследуется динамика QML-генерации твердотельного лазера с АОМ бегущей волны в схеме, аналогичной показанной на рис. 1. Разработанная численная модель позволяет установить границы раскачки автоколебаний на релаксационной частоте и исследо-

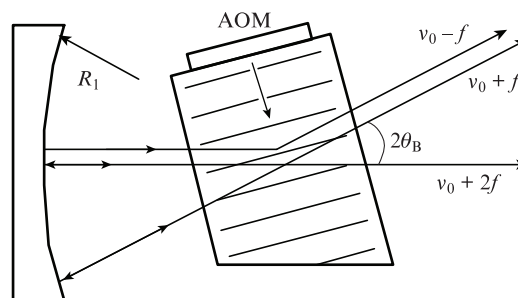


Рис. 1. Схема реализации режима QML в лазере на Nd:YAG.

О.Е.Наний, А.И.Одинцов, А.И.Панаков, А.И.Федосеев. Московский государственный университет им. М.В.Ломоносова, физический факультет, Россия, 119991 Москва, Воробьевы горы; e-mail: naniy@t8.ru, fedoseev362@mail.ru

А.П.Смирнов. Московский государственный университет им. М.В.Ломоносова, факультет вычислительной математики и кибернетики, Россия, 119991 Москва, Воробьевы горы

Поступила в редакцию 25 июля 2017 г.

вать основные закономерности динамики генерации активного QML-лазера.

2. Модель и уравнения

В предложенной модели используется модовый подход, основанный на фундаментальных работах по теории вынужденной амплитудной модуляции [9, 10]. Линия усиления считается уширенной однородно, насыщение усиления предполагается однородным по пространству. Это позволяет при совпадении частоты основной моды ($j = 0$) с центром линии усиления учитывать зависимость сечения оптического перехода σ_j только от номера моды j : $\sigma_j/\sigma_0 = (1 + j^2 b^2)$, $b = \delta v_c / \delta v_g$, где $\delta v_c = c/(2L)$ – межмодовый интервал, δv_g – ширина линии усиления.

Принято, что активная среда характеризуется единым временем релаксации инверсии, а насыщение среды определяется суммарной интенсивностью мод \bar{I} , усредненной за время, значительно превышающее время обхода резонатора излучением. В расчетах динамических режимов генерации предполагается, что величина интенсивности излучения не может упасть ниже уровня спонтанного излучения в моду.

Считается, что скорость затухания поля в резонаторе определяется постоянными потерями γ и изменяемыми потерями γ_d , которые связаны с АОМ. Величина постоянных потерь $\gamma = -\ln(1 - \theta)/T_c$, где θ определяется потерями на оптических элементах резонатора, а T_c – время обхода резонатора. Величина γ_d находится из баланса интенсивностей волн, схематично показанных на рис.1: $\gamma_d = -\ln(1 - \kappa_d^2)/T_c$. Здесь κ_d – коэффициент дифракционной связи, равный доле светового поля, отраженной от акустической волны в АОМ. Этот же коэффициент определяет скорость дифракционной инжекции поля из моды $j - 1$ в моду j : $\xi = \kappa_d^2/T_c$.

В рамках сделанных предположений уравнения для нормированных комплексных амплитуд полей \tilde{E}_j имеют следующий вид (см. [11]):

$$\frac{d}{d\tau} \tilde{E}_j = \left[\frac{\gamma T_1}{2} \left(\frac{\sigma_j}{\sigma_0} n - 1 \right) - \gamma_d T_1 \right] \tilde{E}_j + \xi T_1 \tilde{E}_{j-1}. \quad (1)$$

Здесь $\tau = t/T_1$ – нормированное время (T_1 – время релаксации инверсии). В уравнении для основной моды $j = 0$ $\xi = 0$ и $\sigma_j = \sigma_0$.

Зависимость интенсивности I от времени τ рассчитывается как квадрат модуля комплексного поля:

$$I = \left| \sum_j E_j \exp[i(j\delta\omega_c \tau + \varphi_j)] \right|^2, \quad (2)$$

где $\delta\omega_c = 2\pi\delta v_c T_1$; φ_j – фаза поля моды с номером j .

В численных расчетах использована система уравнений для нормированных действительных величин:

$$\frac{d}{d\tau} E_0 = \frac{\gamma T_1}{2} E_0 (n - 1) - \gamma_d T_1 E_0, \quad (3)$$

$$\frac{d}{d\tau} E_j = \left[\frac{\gamma T_1}{2} \left(\frac{\sigma_j}{\sigma_0} n - 1 \right) - \gamma_d T_1 \right] E_j + \xi T_1 E_{j-1} \cos \Phi_j, \quad (4)$$

$$\frac{d}{d\tau} \varphi_j = T_1 \xi \frac{E_{j-1}}{E_j} \sin \Phi_j. \quad (5)$$

Здесь $\Phi_j = \delta\omega_c \tau + \varphi_{j-1} - \varphi_j$ определяет фазовый набег, возникающий вследствие отстройки АОМ от частоты межмодового интервала (в расчетах полагалось $\varphi_0 = 0$), $\delta\omega_c = 2\pi\delta v T_1$ – величина отстройки.

К уравнениям для полей добавляется балансное уравнение для нормированной инверсии n :

$$\frac{d}{d\tau} n = \eta - n \left(1 + \sum_j |E_j|^2 \frac{\sigma_j}{\sigma_0} \right), \quad (6)$$

где η – параметр накачки, определяющий превышение инверсии над порогом, соответствующим уровню постоянных потерь резонатора.

Большинство расчетов выполнено для численных значений параметров, характерных для Nd:YAG-лазера: $T_1 = 2 \times 10^{-4}$ с, $1/\gamma = 4 \times 10^{-7}$ с, $\delta v_c = 200$ МГц, $\delta v_g = 100$ ГГц.

3. Результаты и их обсуждение

3.1. Динамика усредненной интенсивности при неизменном коэффициенте дифракционной связи κ_d

Реализация QML-режима связана с динамикой усредненной интенсивности

$$\bar{I}(\tau) = \sum_j |E_j|^2 \frac{\sigma_j}{\sigma_0},$$

поскольку именно эта величина определяет динамику общей для всех мод инверсии (здесь и далее приводятся результаты расчетов при условии точной настройки рабочей частоты АОМ на резонансы). Поведение $\bar{I}(\tau)$ зависит от числа и состава участвующих в генерации мод. Характерной чертой изучаемой системы является необычное распределение интенсивностей мод E_j^2 по спектру – максимум спектра смещен относительно максимума усиления, причем величина смещения немонотонно зависит от нормированного коэффициента κ_d . Такие распределения, рассчитанные для стационарных решений уравнений (3)–(6), показаны на рис.2. Для каждого значения κ_d наличие максимума обусловлено существованием двух конкурирующих факторов – инжекции поля в следующие моды и падения усиления с увеличением номера моды j . С ростом κ_d растут также дифракционные потери, поэтому интенсивности всех мод падают, смещение максимума

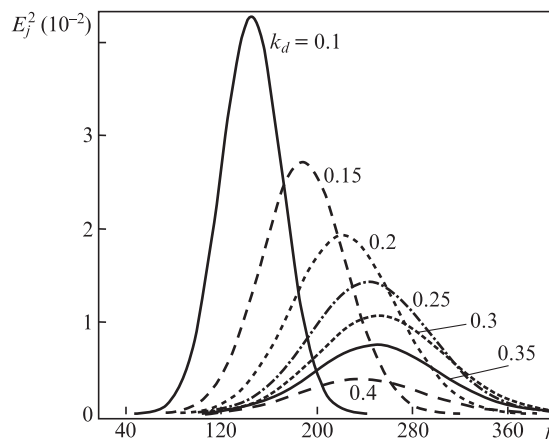


Рис.2. Стационарные частотные профили E_j^2 для различных значений κ_d (параметр накачки $\eta = 6$).

распределения вправо (в сторону больших j) замедляется, затем сменяется на смещение влево. Эта особенность позволяет ограничить число рассматриваемых в численном эксперименте мод. В расчетах не учитываются поля мод, амплитуда которых меньше одной тысячной максимальной амплитуды. В большинстве расчетов это условие удовлетворялось при $j_{\max} = 400$.

Наши расчеты, выполненные для приведенных в [11] наборов параметров, показывают, что стационарные решения (3)–(6) являются неустойчивыми и возникают автоколебания $\bar{I}(\tau)$ на релаксационной частоте. Это согласуется с данными эксперимента [11], причем зона неустойчивости оказывается достаточно широкой по параметрам системы.

На рис.3 приведена зона неустойчивости $\bar{I}(\tau)$ в координатах η, κ_d при неизменных остальных параметрах. Эта зона расширяется с ростом η . Можно предположить, что неустойчивость связана с процессом последовательной инжекции поля. Равновесие между полем основной моды E_0 , работающей в режиме насыщения усиления, и полями остальных мод, работающих в режиме регенеративного усиления, оказывается неустойчивым. Например, малое возмущение стационарного поля E_0 участвует в процессе инжекции полей в следующие моды. Воздействие на общую для всех мод инверсию может оказаться таким, что возникает еще большее возмущение противоположного знака. В этом случае малые колебания на релаксационной частоте лазера нарастают, формируя насыщенный автоколебательный режим. При этом стабилизирующим фактором вблизи нижней (по величине κ_d) границы зоны неустойчивости является глубокое насыщение среды, которое имеет место при стационарной генерации. На верхней же границе влияние процесса инжекции может быть ослаблено возросшими дифракционными потерями. Таким образом, коэффициент κ_d может служить управляющим параметром, изменяя который можно управлять динамическими режимами генерации.

На рис.4 показаны характеристики автомодуляционного режима для параметра накачки $\eta = 5.5$. При низких значениях κ_d наблюдаются релаксационные колебания с невысокими значениями \bar{I}_{\max} , которые слабо насыщают среду. Их частота относительно высока ($\nu_r \approx 8$) вследствие значительного превышения усиления над порогом. По мере роста κ_d и развития неустойчивости происходит быстрый рост \bar{I}_{\max} , автоколебания насыщают среду. При этом частота релаксационных колебаний резко снижает-

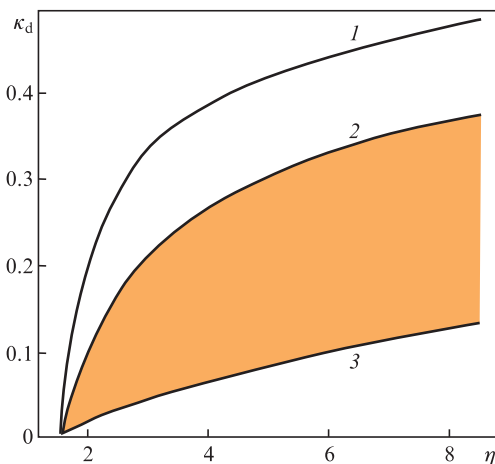


Рис.3. Границы генерации (1) и зоны неустойчивости (2, 3).

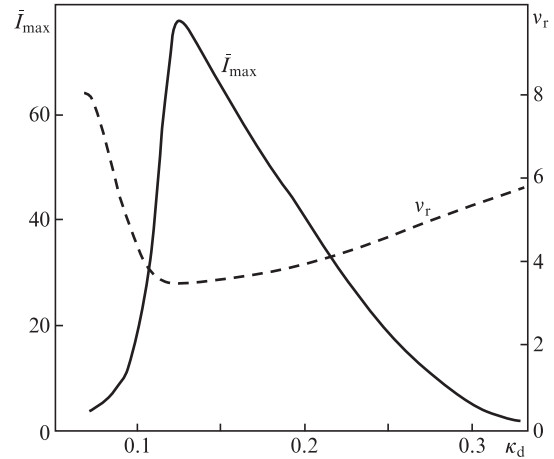


Рис.4. Характеристики автомодуляционного режима: амплитуда импульсов \bar{I}_{\max} и частота следования ν_r .

ся за счет насыщения среды (известно, что частота релаксационных колебаний, насыщающих среду, всегда ниже частоты малых колебаний). Наличие максимума на кривой интенсивности обусловлено влиянием нарастающих дифракционных потерь. Их дальнейшее увеличение приводит к снижению \bar{I}_{\max} и глубины насыщения среды и, как следствие, к росту ν_r .

Переходной процесс, к которому приводит небольшое мгновенное снижение κ_d (на величину $\sim 10^{-3}$) внутри области устойчивости, демонстрирует аperiodический «всплеск» интенсивности и характеризуется достаточно коротким временем ($\sim 10^{-1}$). При этом частотный профиль изменяется во времени незначительно, хотя максимумы интенсивностей мод достигаются в различные моменты времени. На рис.5 показан переходной процесс при относительно плавном переходе из области устойчивости с $\kappa_d = 0.35$ в область неустойчивости с $\kappa_d = 0.2$ для $\eta = 5.5$. Значительные колебания инверсии в этом процессе приводят к возникновению импульсов, насыщающих среду. Время установления насыщенных релаксационных колебаний после завершения изменений κ_d также достаточно мало и составляет $\sim 0.3\tau$.

Короткие времена переходных процессов позволяют эффективно изменять динамический режим генерации. В то же время из рис.4 следует, что для заданного параметра накачки высокие значения \bar{I}_{\max} достигаются в достаточно узком диапазоне значений κ_d и частот следования импульсов. Это сужает возможности получения импуль-

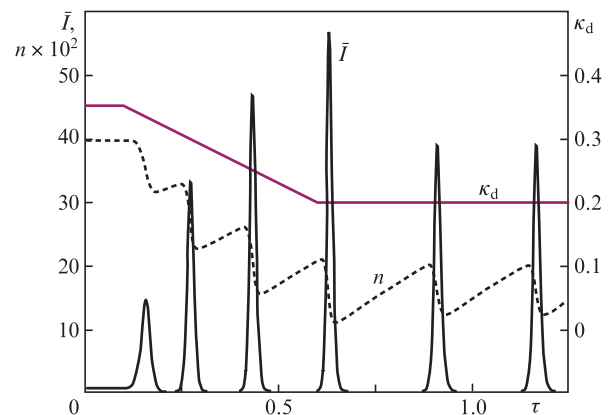


Рис.5. Переходной процесс при плавном изменении управляющего параметра κ_d .

сно-периодической генерации с высокой амплитудой импульсов. Увеличить \bar{I}_{\max} и расширить частотный диапазон следования импульсов можно путем периодической «внешней» модуляции добротности резонатора. С этой целью коэффициент κ_d модулируется на относительно низких частотах от высоких значений (устойчивая генерация либо ее отсутствие) до минимальных, при которых АОМ еще выполняет свои функции.

3.2. Динамика усредненной интенсивности при модуляции κ_d

Рассмотрена гармоническая модуляция коэффициента дифракционной связи на частотах, не слишком превышающих частоту ν_r : $\kappa_d(\tau) = \kappa_d[1 + A \sin(2\pi\nu_m\tau)]$, где A – амплитуда модуляции, ν_m – частота модуляции. На рис.6 представлена зависимость частоты следования импульсов ν_p от частоты модуляции ν_m . Регулярные пульсации \bar{I} возникают в полосах частот вблизи $\nu_r \approx 2.2$. Эти полосы соответствуют диапазонам изменения ν_m , отмеченным цифрами 1, 2 и 3. В промежутках между этими диапазонами наблюдаются режимы со сложным периодом и хаотическая генерация. Измеренные корреляционные размерности $\rho_{\text{кор}}$ соответствующих хаотических аттракторов оказались близкими к 1.5. Для $\nu_m \gg \nu_r$ происходит сужение диапазонов регулярных пульсаций, затем на больших частотах модуляции возникают импульсы значительно меньшей амплитуды с частотой следования ν_m .

Релаксационная частота ν_r с изменением $\kappa_d(\tau)$ изменяется в небольших пределах. В представленном на рис.6 случае можно говорить о взаимодействии сигнала на частоте ν_p с достаточно широким релаксационным резонансом. В диапазоне 1 величина ν_m изменяется вблизи резонанса, поэтому $\nu_p = \nu_m$. Импульс генерации периодически возникает в момент времени, близкий к минимуму $\kappa_d(\tau)$, когда растущее значение инверсии n превышает порог. Поэтому в диапазонах регулярных пульсаций отношение частот ν_m/ν_r – целое число. Переход частоты ν_m из одного диапазона в другой (например, из 2 в 3) приводит к снижению частоты генерации в целое число раз и (при увеличении номера диапазона) к «стягиванию» полосы регулярной генерации к релаксационному резонансу. На рис.7 показана временная зависимость генерации для $\nu_m = 6.6$; частота следования близка к ν_r и равна $\nu_m/3$.

Возможности повышения амплитуды периодических импульсов \bar{I} связаны с изменением режима работы АОМ, например с заменой гармонического изменения $\kappa_d(\tau)$ на периодические резкие снижения его величины. При этом для обеспечения достаточно высокой инверсии перед началом каждого импульса частоту такой модуляции необходимо снизить относительно частоты ν_r . Импульс гене-

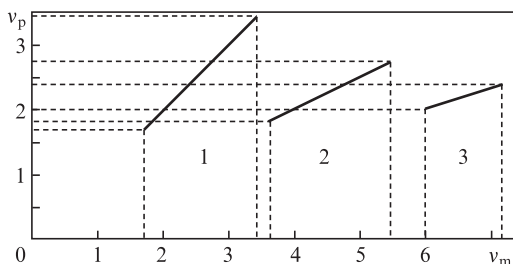


Рис.6. Зависимость частоты следования импульсов ν_p от частоты ν_m при гармонической модуляции κ_d в диапазоне 0.4 – 0.2 ($\eta = 5.5$).

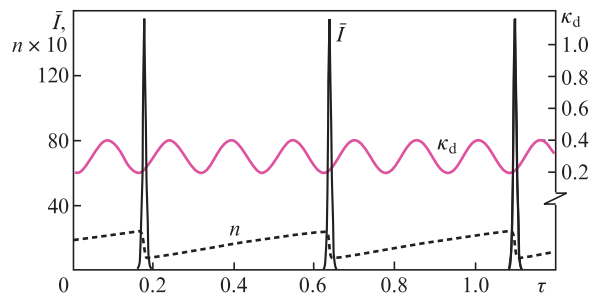


Рис.7. Генерация при частоте модуляции $\nu_m = 6.6$.

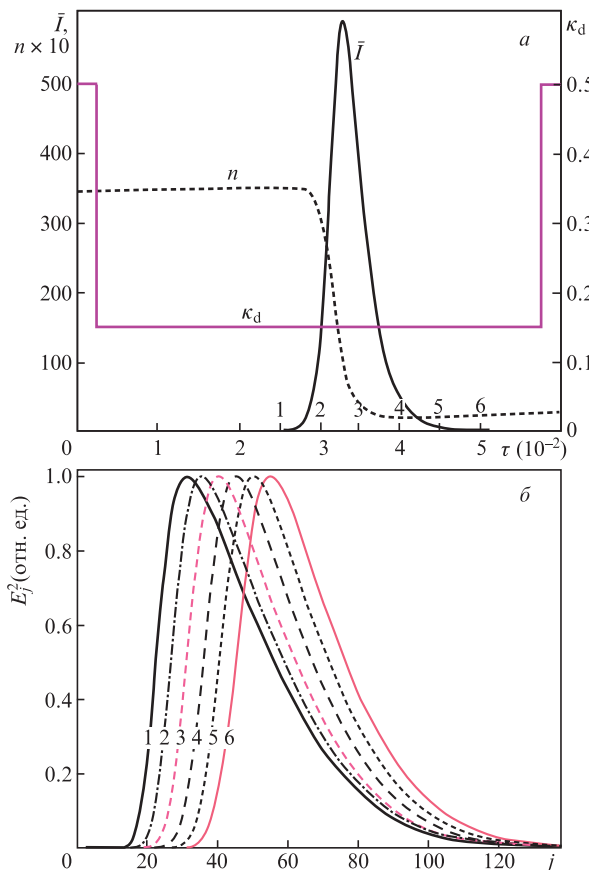


Рис.8. Импульс генерации при резком периодическом снижении коэффициента κ_d и $\nu_m = 1$ (а) и спектральные профили мод E_j^2 (б). Цифры 1–6 показывают моменты времени измерения профилей.

рации при таком изменении κ_d показан на рис.8,а для частоты модуляции $\nu_m = 1$. Видно, что амплитуда импульса существенно выше, чем при гармонической модуляции, среда насыщается глубже. Амплитудное значение \bar{I} достигается спустя примерно $3 \times 10^{-2}\tau$, за этот промежуток времени импульс нарастает от уровня спонтанной эмиссии до максимального значения, равного 600 (в режиме автоколебаний это значение составляет ~ 40 , см. рис.5). Спектральный состав такого импульса определяет характеристики режима синхронизации мод. Распределение E_j^2 по модам за отмеченный выше промежуток времени установиться не успевает. Такие распределения показаны на рис.8,б в моменты времени τ (отмечены цифрами 1–6 на рис.8,а), когда \bar{I} уже не слишком мало. Максимум распределения постепенно сдвигается вправо, спектр при этом остается значительно более узким, чем тот, который имел бы место в режиме стационарного \bar{I} (сравни с дан-

ными рис.2). Полученные результаты говорят о том, что время формирования спектра, соответствующего новому значению κ_d , примерно на порядок больше времени формирования импульса в режиме модуляции добротности.

3.3. Характеристики импульсов синхронизованных мод

В QML-режиме распределение амплитуд в серии импульсов синхронизованных мод, разделенных интервалом времени T_c , совпадает по форме с $\bar{I}(\tau)$. В режиме автоколебаний их максимальная амплитуда при прочих равных условиях определяется величиной коэффициента дифракционной связи. С ростом κ_d увеличивается число синхронизирующихся мод (согласно данным рис.2) и одновременно растут потери. Поэтому, как и для \bar{I}_{\max} , существует оптимальное значение κ_d , при котором достигается самая высокая амплитуда I_{\max} . При этом влияние увеличения числа мод сказывается сильнее и оптимальное значение $\kappa_d \approx 0.17$ несколько больше того, которое достигается для \bar{I}_{\max} . При таком значении κ_d и накачке $\eta = 5.5$ в режиме автомодуляции $I_{\max} = 4.5 \times 10^3$. В случае модуляции κ_d (см. рис.8) результат выше: $I_{\max} = 5 \times 10^4$. Импульс СМ, показанный на рис.9, в обоих случаях имеет длительность, близкую к $\tau_p = 5 \times 10^{-7}$ (в абсолютных единицах при выбранных параметрах $T_p = 10^{-10}$ с). Сравнение ширины импульса с величиной T_c показывает, что синхронизируется ~ 100 мод.

Последнее замечание связано с возможной отстройкой удвоенной рабочей частоты АОМ от межмодового интервала. С ростом отстройки изменяются параметры автоколебаний. Уже для $\delta\omega \approx 6.3$ (в абсолютных единицах соответствует $\delta\nu \approx 5$ кГц) становится заметным рост релаксационной частоты, связанный со снижением глубины насыщения среды каждым импульсом. По этой причине амплитуда импульсов автоколебаний $\bar{I}(\tau)$ снижается, их длительность увеличивается. Частотный состав претерпевает значительные изменения. Величина $\Delta\Phi_j$ для каждой моды изменяется за время импульса (плавное снижение во времени разности $\Delta\varphi_j = \varphi_{j-1} - \varphi_j$ лишь приближенно компенсируется ростом $\delta\omega\tau$). Изменения $\Delta\Phi_j$ приводят к тому, что при наличии отстройки наблюдаются изменения распределения E_j^2 во времени – появляются минимумы и максимумы, при этом сокращается эффективное число работающих мод. При $\delta\nu \approx 10$ кГц нарушается регулярность импульсов автоколебаний.

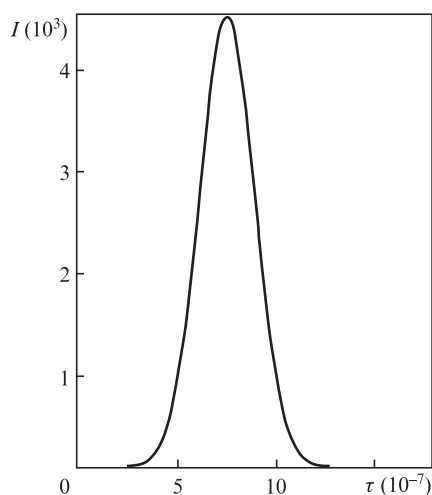


Рис.9. Импульс синхронизованных мод.

Сценарий изменения структуры импульсов СМ с ростом $\delta\nu$ подробно не изучался. Однако изменения распределения E_j^2 , происходящие за время импульса автоколебаний, существенным образом сказываются на характеристиках импульсов СМ. Снижаются амплитуды, увеличивается длительность импульсов. Для отстройки $\delta\nu = 5$ кГц импульс уширен до $T_p \approx 2 \times 10^{-10}$ с, дальнейшее увеличение отстройки приводит практически к пропорциональному увеличению длительности. При этом форма импульсов приобретает изрезанность, близкую к той, которая получается при моделировании мод со случайным изменением фаз от 0 до $\pi/2$ в обе стороны от нуля.

4. Заключение

Предложена модель для описания твердотельного лазера с одним АОМ бегущей волны в резонаторе. Динамическая связь мод осуществляется за счет инжекции поля от предыдущей моды в последующую со сдвигом частоты, равным межмодовому интервалу. Установлено, что в достаточно широком диапазоне изменений коэффициента дифракционной связи κ_d и скорости накачки режим генерации со стационарной усредненной интенсивностью оказывается неустойчивым. Неустойчивость приводит к автоколебательному QML-режиму с частотой следования импульсов, близкой к релаксационной частоте системы ν_r . Показано, что коэффициент κ_d является управляющим параметром, который может кардинально изменять динамику системы при неизменных остальных параметрах.

Управление характеристиками импульсно-периодического режима путем внешней периодической модуляции коэффициента κ_d на относительно низкой частоте ν_m имеет особенности, связанные с влиянием релаксационного резонанса. Регулярная импульсно-периодическая генерация возникает, когда отношение частот ν_m/ν_r равно целому числу, и в полосах частот вблизи ν_r . Этим полосам соответствуют определенные диапазоны изменения ν_m , в промежутках между которыми наблюдаются режимы со сложным периодом и хаотическая генерация.

Коэффициент κ_d не только определяет потери резонатора и скорость инжекции, но и существенно влияет на модовый состав генерации, тем самым в значительной степени определяя форму и амплитуду импульсов синхронизованных мод.

1. Kuizenga D.J. *IEEE J. Quantum Electron.*, **17**, 1694 (1981).
2. Корниенко Л.С., Кравцов Н.В., Наний О.Е., Шелаев А.Н. *Квантовая электроника*, **8**, 2552 (1981) [*Sov. J. Quantum Electron.*, **11**, 1557 (1981)].
3. Кравцов Н.В., Магдич Л.Н., Шелаев А.Н., Шницер П.И. *Письма в ЖТФ*, **9**, 440 (1983).
4. Надточеев В.Е., Наний О.Е. *Квантовая электроника*, **16**, 2231 (1989) [*Sov. J. Quantum Electron.*, **19**, 1435 (1989)].
5. Jabczynski J.K., Zendzian W., Rwiatkowski J. *Opt. Express*, **14** (6), 2184 (2006).
6. Донин В.И., Яковин Д.В., Грибанов А.В. *Квантовая электроника*, **42**, 107 (2012) [*Quantum Electron.*, **42**, 107 (2012)].
7. Donin V.I., Yakovin D.V., Gribanov A.V. *Opt. Lett.*, **37** (3), 338 (2012).
8. Донин В.И., Яковин Д.В., Грибанов А.В. *Письма в ЖЭТФ*, **101**, 881 (2015) [*JETP Lett.*, **101**, 783 (2015)].
9. McDuff O.P., Yarris S.E. *IEEE J. Quantum Electron.*, **3**, 101 (1967).
10. Hjelme D.R., Mickelson A.R. *IEEE J. Quantum Electron.*, **28**, 1594 (1992).
11. Ларионцев Е.Г. *Квантовая электроника*, **21**, 209 (1994) [*Quantum Electron.*, **24**, 191 (1994)].